

# Roboty Manipulacyjne i Mobilne

## Budowanie mapy, lokalizacja, SLAM

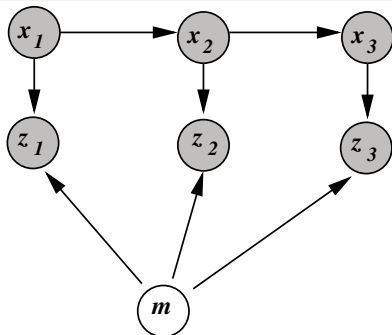
Janusz Jakubiak

Zakład Podstaw Cybernetyki i Robotyki  
Instytut Informatyki, Automatyki i Robotyki Politechnika Wroclawska

4.05.2012

## Wersja I zadania (prostsza)

Na podstawie **znanego** ciągu pozycji robota (*trajektorii*) oraz odczytów sensorów (*obserwacji*) w tych pozycjach – wyznaczyć położenia przeszkód i obszary wolne w otoczeniu robota (mapę w *wybranej reprezentacji*).

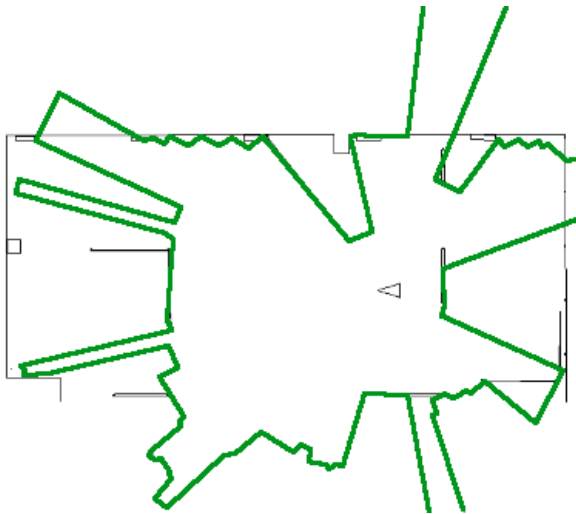


- $m$  – mapa
- $x_i$  – pozycja robota w kroku  $i$
- $z_i$  – obserwacja w kroku  $i$

Do zadania tworzenia mapy otoczenia wykorzystywane są sensory

- sonary,
- dalmierze laserowe,
- systemy mono- i stereowizyjne
- informacje o pozycji i orientacji robota z podsystemu samolokalizacji

# Sonar jako skaner



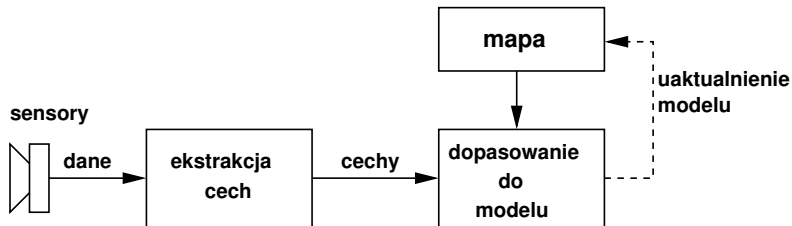
<sup>0</sup>Leonard, Durrant-Whyte. Directed Sonar Sensing for Mobile Robot Navigation

## Wyszukiwane cechy

- linie (odcinki)
- narożniki
- znaczniki

Wykryte cechy(elementy) nawet w statycznym środowisku powinny być śledzone podczas ruchu robota celem weryfikacji i ewentualnej korekty mapy.

# Budowanie mapy – schemat



## Etapy tworzenia mapy [Crowley 1989]

- 1 Tworzenie opisu wyższego poziomu na podstawie bieżących odczytów czujników i modeli sensorów.
- 2 Dopasowanie cech rozpoznanych przez sensory do bieżącego opisu otoczenia robota.
- 3 Aktualizacja opisu otoczenia poprzez osłabienie lub wzmocnienie prawdopodobieństw obecności obiektów.

# Podział map

## W zależności od zmienności

- statyczne
- dynamiczne

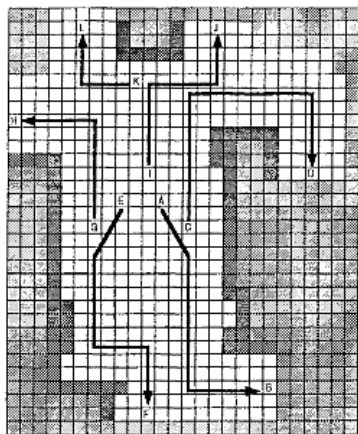
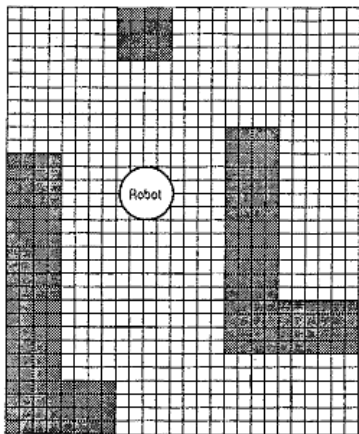
## W zależności od rodzaju opisu

- metryczne
- topologiczne
- hybrydowe

## Według opisu przestrzeni

- rastrowe
- wektorowe

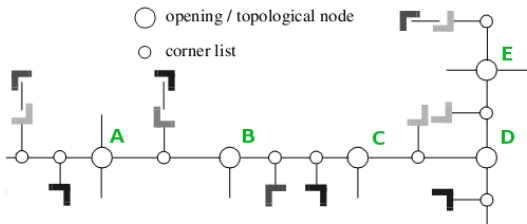
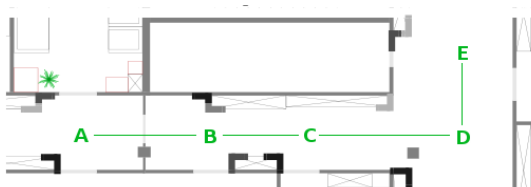
# Mapa rastrowa, metryczna



<sup>0</sup>A. Zelinsky. Environment Mapping with a Mobile Robot using Sonar



# Mapa topologiczna



<sup>0</sup>Tomatis i in. Combining topological and metric: a natural integration for SLAM

# Porównanie map metrycznych i topologicznych

## Zalety map metrycznych

- łatwość tworzenia, reprezentacji, modyfikacji
- rozpoznawanie miejsc niezależne od położenia/orientacji
- umożliwiają generowanie optymalnych (najkrótszych) ścieżek

## Zalety map topologicznych

- złożoność mapy zależy od złożoności obszaru, nie jego wielkości
- nie wymagają znajomości dokładnej pozycji robota
- reprezentacja łatwiejsza do przetwarzania wysokopoziomowego

## Dlaczego tworzenie map jest problemem trudnym?

Przestrzeń możliwych map jest bardzo duża: w przypadku ciągłym – nieskończeniowymiarowa, w dyskretnym – często rzędu  $10^4 - 10^6$ .

Główne czynniki określające złożoność:

- rozmiar – wielkość środowiska względem zasięgu sensorów,
- zakłócenia pomiarów i sterowania,
- niejednoznaczność percepcji (możliwość dopasowania różnych punktów otoczenia do tego samego punktu mapy),
- cykle (możliwość dotarcia do tego samego punktu różnymi drogami, przy jednoczesnych błędach określania pozycji).

# Praktyczne ograniczenia

- wielkości fizyczne możliwe do zmierzenia
- zasięg sensorów
- zakłócenia
- niejednoznaczność interpretacji
- niedokładność wyznaczania pozycji robota
- dynamika otoczenia
- wymagania pracy w czasie rzeczywistym

# Rastrowa mapa zajętości (*occupancy grid*)

Szukamy mapy, która maksymalizowałaby prawdopodobieństwo

$$p(m|z_{1:t}, x_{1:t}).$$

Dzielimy mapę na komórki  $m = \{m_i\}$ , każda z prawdopodobieństwem zajętości (1 – zajęta, 0 – wolna).

## Problem rozmiaru:

Mapa 100x100 to 10 000 komórek. Liczba możliwych map:  $2^{10000}$ .

## Rozwiązanie standardowe:

Obliczamy prawdopodobieństwo każdej komórki oddzielnie

$$p(m|z_{1:t}, x_{1:t}) \simeq \prod_i p(m_i|z_{1:t}, x_{1:t})$$

## Rastrowa mapa zajętości (2)

Do aktualizacji prawdopodobieństwa korzystamy z binarnego filtra bayesowskiego i reprezentacji logarytmicznej

$$l_t = l_{t-1} + \log \frac{p(x|z_t)}{1 - p(x|z_t)} - \log \frac{p(x)}{1 - p(x)}$$

# Rastrowa mapa zajętości – algorytm

$$l_0 = \log \frac{p(m_i=1)}{p(m_i=0)} = \log \frac{p(m_i)}{1-p(m_i)}$$

foreach  $m_i$  do

if  $m_i$  in perception\_field( $z_t$ )

$$l_{t,i} = l_{t-1,i} + \text{inverse\_sensor\_model}(m_i, x_t, z_t) - l_0$$

else

$$l_{t,i} = l_{t-1,i}$$

endif

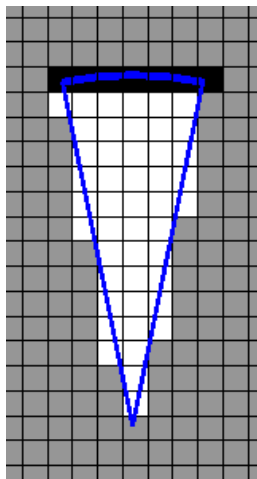
endfor

$$p(m_i | z_{1:t}, x_{1:t}) = 1 - \frac{1}{1 + \exp\{l_{t,i}\}}$$

$$\text{inverse\_sensor\_model}(m_i, x_t, z_t) = \log \frac{p(m_i | z_t, x_t)}{1 - p(m_i | z_t, x_t)}$$

# Model czujnika

Wersja prosta:



Wersja zaawansowana:

Niech

$(r_i, \varphi_i)$  – odległość i kąt do komórki  $m_i$ ,

$(\theta, \beta)$  – orientacja i szerokość wiązki sensora

$\alpha$  – grubość przeszkody

if  $r_i > \min(z_{max}, z_t + \alpha/2)$  or  $|\varphi_i - \theta_{sens}| > \beta/2$

return  $l_0$

if  $z_t < z_{max}$  and  $|r_i - z_t| < \alpha/2$

return  $l_{zaj}$

if  $r_i \leq z_t$

return  $l_{wol}$



## Pytanie

W jaki sposób stworzyć mapę zajętości korzystając z różnych sensorów?

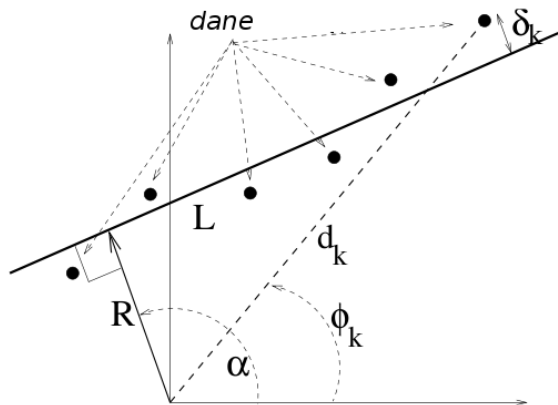
- 1 (sposób prosty) Uruchomić algorytm dla tej samej mapy kolejno dla każdego z czujników. Wada: Jeśli różne typy czujników wykrywają różne przeszkody, mapa będzie niestabilna.
- 2 (podejście typowe) Stworzyć oddzielne mapy dla każdego z typów czujników i połączyć je odpowiednią funkcją, np. jeśli pomiary są niezależne, korzystając z praw De Morgana:

$$p(m_i) = 1 - \prod_k (1 - p(m_i^k)),$$

lub wg. najbardziej pesymistycznej hipotezy

$$p(m_i) = \max_k p(m_i^k).$$

# Mapy wektorowe – wykrywanie linii



$$\delta_k = d_k \cos(\alpha - \phi_k) - R$$

<sup>0</sup>por. transformata Hough'a

<sup>0</sup>Pfister i in. Weighted line fitting algorithms...

# Wykrywanie linii

Niech

- $d_k = D_k + \varepsilon_d$ , z  $\varepsilon_d$  będącym błędem odczytu sensorów odległości o rozkładzie normalnym z wariancją  $\sigma_d^2$ ,
- $\phi_k = \Phi_k + \varepsilon_\phi$  – analogicznie błędem orientacji o wariancji  $\sigma_\phi^2$ .

Błąd dopasowania do linii  $k$ -tego pomiaru

$$P_k = E\{\delta_k \delta_k^T\} = \sigma_d^2 \cos^2(\alpha - \Phi_k) + \sigma_\phi^2 D_k^2 \sin^2(\alpha - \phi_k)$$

Estymata  $R$

$$\hat{R} = P_{RR} \left( \sum_k \frac{d_k \cos(\hat{\alpha} - \phi_k)}{P_k} \right), \quad P_{RR} = \left( \sum_k P_k^{-1} \right)$$

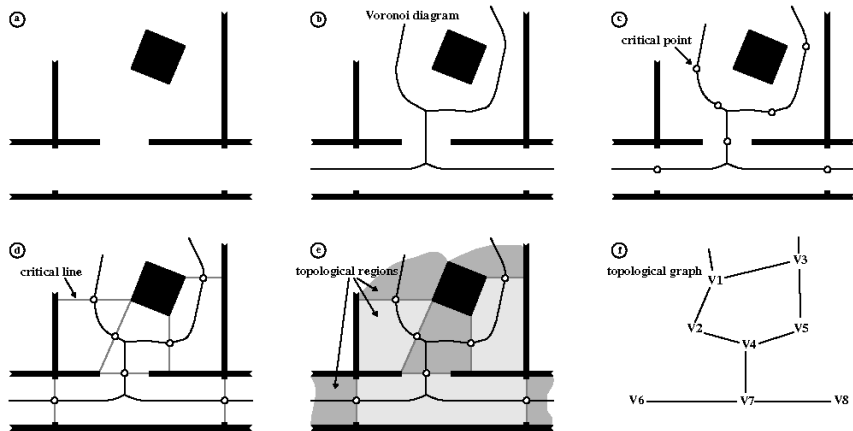
Estymatę  $\alpha$  wyznacza się np. przez numeryczną maksymalizację prawdopodobieństwa a posteriori.

# Wykrywanie linii – RANSAC

Algorytm RANdom SAmpling Consensus dla dalmierza laserowego

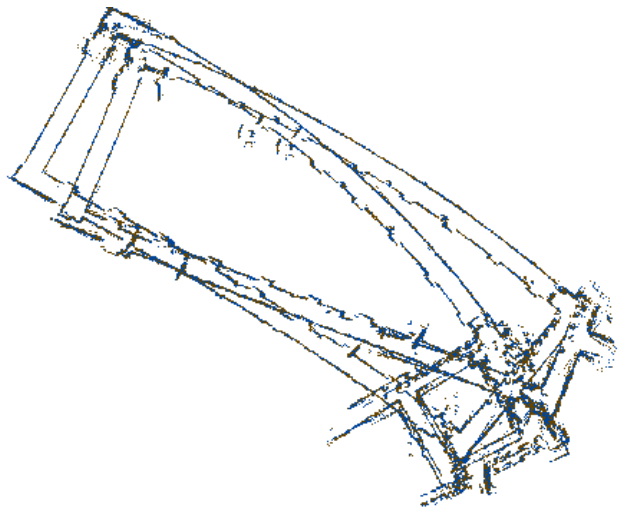
- **dopóki** istnieją próbki nie przypisane do żadnej linii, a liczba prób jest mniejsza od  $N$ 
  - wybierz dowolny odczyt  $r_k$
  - wybierz losowo  $S$  próbek w zakresie do  $D$  stopni od  $r_k$  ( $R_s$ )
  - dla  $\{r_k\} \cup R_s$  dopasuj linię metodą najmniejszych kwadratów
  - wyznacz ile z wszystkich próbek leży w odległości powyżej  $X$  od tej linii
  - **jeśli** liczba odczytów pasujących do linii jest większa od  $C$ 
    - dla punktów pasujących do linii wyznacz ponownie parametry prostej
    - dodaj wyznaczoną linię do zbioru wykrytych linii
    - usuń uwzględnione punkty ze zbioru punktów do przetworzenia

# Konwersja mapy metrycznej do topologicznej



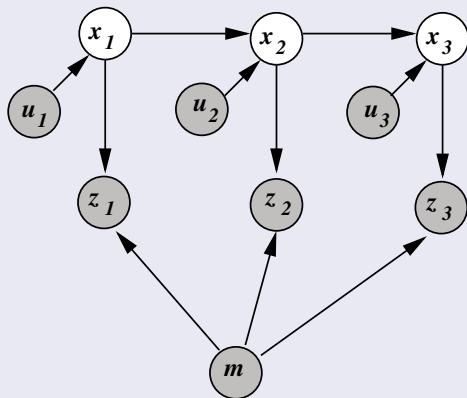
<sup>0</sup>Thrun. Learning maps for indoor mobile robot navigation

# Wpływ błędów odometrii – krok do SLAM



<sup>0</sup>Thrun. Integrating topological and metric maps. . .

# Zadanie lokalizacji



Na podstawie znanych: modelu otoczenia  $m$ , ciągu sterowań  $\mathcal{U} = \{u_{1:t}\}$  i obserwacji  $\mathcal{Z} = \{z_{1:t}\}$  wyznaczyć stan robota  $x_t$  (lub ciąg stanów  $\mathcal{X} = \{x_{1:t}\}$ ).

# Zadanie lokalizacji – systematyka

## Informacja początkowa

- śledzenie pozycji (lokalizacja lokalna)
- lokalizacja globalna
- problem „porwanego robota”

## Środowisko

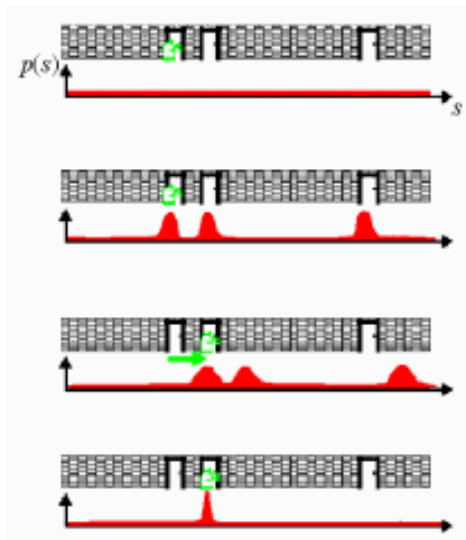
- statyczne
- dynamiczne

## Wpływ na sterowanie

- bierna
- aktywna



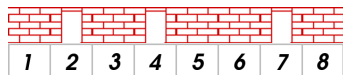
# Zadanie lokalizacji – idea



<sup>0</sup><http://www.cs.cmu.edu/~thrun/tutorial/sld027.htm>

# Zadanie lokalizacji – przykład

$$p(z_t = \text{[brick pattern]} | x_t = x_i) = \begin{cases} 1 & \text{dla } x_i = 2, 4, 7, \\ 0 & \text{dla } x_i = 1, 3, 5, 6, 8 \end{cases}$$



$$x_{t+1} = f(x_t, u_t = 1) = x_t + 1$$

$$Z = \left\{ \text{[brick pattern]}, \text{[horizontal lines]}, \text{[brick pattern]} \right\}$$

$p(x_t = x_i | z_{1:t}) :$

$i, z_i \setminus x_i$	1	2	3	4	5	6	7	8
0	1/8	1/8	1/8	1/8	1/8	1/8	1/8	1/8
1 [brick pattern]	0	1/3	0	1/3	0	0	1/3	0
2 [horizontal lines]	0	0	1/3	0	1/3	0	0	1/3
3 [brick pattern]	0	0	0	1	0	0	0	0

# Zadanie lokalizacji – przykład, c.d.

## Uwaga

Prawdopodobieństwo  $p(z_t|x_t)$  zwykle nie jest binarne, także zmiana stanu może być zakłócona.

## Pytanie

Jak wyglądałoby rozwiązanie, gdyby przyjąć, że prawdopodobieństwo, że drzwi są otwarte wynosiło  $1/2$ , a robot nie odróżniał zamkniętych drzwi od ściany? Gdyby dodatkowo  $u_i = 0.9$ , czyli zmiana stanu opisana byłaby równaniem

$$p(x_{t+1} = x_i + 1 | x_t = x_i) = 0.9 \quad p(x_{t+1} = x_i | x_t = x_i) = 0.1$$

(por. algorytm Viterbiego)

## W każdej iteracji – dwie fazy:

- predykcja  
obliczenie przewidywanego rozkładu prawdopodobieństwa nowego stanu

$$\bar{bel}(x_t = x) = \int p(x_t | x_{t-1}, u_t) bel(x_{t-1}) dx_{t-1}$$

- korekta  
hipotezy na podstawie odczytów sensorów  $z_t$

$$bel(x_t = x) = \eta p(z_t | x_t) \bar{bel}(x_t)$$

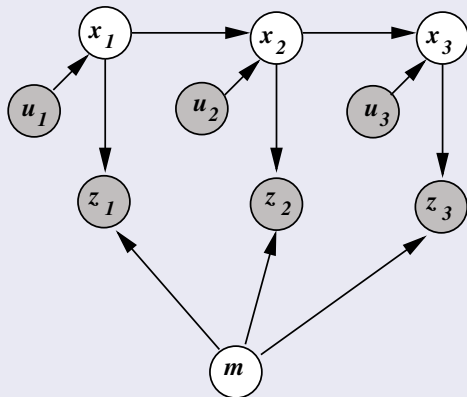
## SLAM

Ponieważ zarówno wyznaczenie położenia robota (lokalizacja), jak i pomiary odległości do obiektów znajdujących się w otoczeniu robota (tworzenie mapy) obarczone są błędami, należy oba zadania rozpatrywać łącznie. Zadanie będzie (wielokrotnie) bardziej złożone, jednak będzie można uzyskać dokładniej wyznaczone pozycję robota i przeszkód w jego otoczeniu.

---

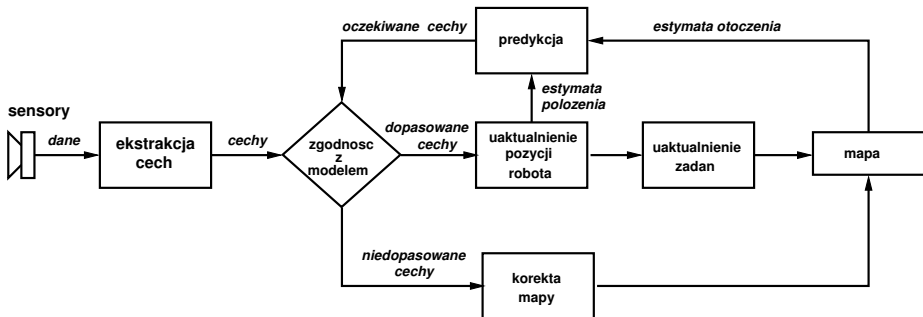
<sup>1</sup>SLAM (*Simultaneous localization and mapping*) – jednoczesna lokalizacja (robota) i budowa mapy

# SLAM formalnie



Na podstawie znanych sterowań  $\mathcal{U} = \{u_{1:t}\}$  i obserwacji  $\mathcal{Z} = \{z_{1:t}\}$  wyznaczyć stany robota  $\mathcal{X} = \{x_{1:t}\}$  i model otoczenia (mapę)  $m$ .

# SLAM – schemat



- metody gaussowskie, np. rozszerzony filtr Kalmana (EKF)
- grafowe metody optymalizacji
- metody gridowe/Monte Carlo, np. filtry cząsteczkowe (*particle filter*)



- najstarsza z metod SLAM
- zakłada metryczną reprezentację świata z wyróżnionymi elementami stanowiącymi wektory w przestrzeni parametrów
- pozycja robota oraz wyróżnionych elementów świata tworzą sieć relacji obarczonych niepewnością

$$p(x_t, m | Z_T, U_T) \sim \mathcal{N}(\mu_t, \Sigma_t)$$

$x_t$  – pozycja robota w chwili  $t$ ,  $U_T$  – zbiór względnych przemieszczeń robota w czasie  $[0, t]$ ,  $m$  – rzeczywista mapa otoczenia,  $Z_T$  – zbiór pomiarów otoczenia,  $\mu_t$  – wektor stanu (poł. robota i elementów otoczenia),  $\Sigma_t$  – macierz kowariancji do oceny błędu przyjętego stanu  $\mu_t$

## Założenie

Mapa jest reprezentowana przez skończony zbiór cech. W wersji prostszej algorytmu obserwacje są jednoznacznie kojarzone z cechami, w innych wersjach – dopasowanie obserwacji do cech następuje np. przez estymację największego prawdopodobieństwa (*maximum likelihood estimator, MLE*).

## Własności

- jako reprezentacja gaussowska, nie uwzględnia sztywnych ograniczeń przestrzeni
- prosty EKF jest mało odporny na błędne dopasowania
- nie uwzględnia informacji negatywnych

Rozszerzenia: MHT, UKF, inne.

# Grafowe metody optymalizacji

- przy każdym pomiarze dodawane są do grafu: węzeł z bieżącą pozycją i łuki pomiarów odległości do znaczników
- graf jest optymalizowany (analogicznie do minimalizacji układu mas-sprężyn)

$$X_t^*, m^* = \arg \max_{X_T, m} \log p(X_T, m | Z_T, U_T)$$

przy

$$\begin{aligned} \log p(X_T, m | Z_T, U_T) = \text{const} + \\ + \sum_t \log p(x_t | x_{t-1}, u_t) + \log p(z_t | x_t, u_t) \end{aligned}$$

## Własności

- Nie wymagają ekstrakcji cech
- Mogą uwzględniać informację negatywną
- Są nieparametryczne – nie są ograniczone założoną dystrybucją

# Lokalizacja gridowa

$\{p_{k,0}\}$ : początkowy rozkład prawdopodobieństw na siatce

foreach  $k$  do

$$\bar{p}_{k,t} = \sum_i p_{t,t-1} \cdot \text{motion\_model}(x_{k\ sr}, u_t, x_{i\ sr})$$

$$p_{k,t} = \eta \bar{p}_{k,t} \cdot \text{measurement\_model}(z_t, x_{t\ sr}, m)$$

endfor

- stosowany dyskretny filtr Bayesa
- siatki:
  - topologiczna – zawiera istotne miejsca, np. drzwi, skrzyżowania, ślepe zaułki. Rozdzielczość zależy od środowiska.
  - metryczna (uwagi: obserwacje mogą być różne dla różnych punktów pola siatki, model ruchu może się zmieniać w zależności od wielkości pola i prędkości robota)

- połączenie łańcuchów Markowa z metodą Monte Carlo
- najpopularniejsza wersja: FastSLAM
- śledzone jest jednocześnie  $K$  cząstek, każda na swojej ścieżce
  - na podstawie odometrii generowane są nowe pozycje cząstek zgodnie z przyjętym rozkładem błędów

$$x_t^{[k]} \sim p(x_t | x_{t-1}^{[k]}, u_t)$$

- przy nowym pomiarze wyliczane są *współczynniki istotności* na podstawie prawdopodobieństwa pomiaru cechy  $n$  w założonej pozycji

$$w_t^{[k]} = \mathcal{N}(z_t | x_t^{[k]}, \mu_{t,n}^{[k]}, \Sigma_{t,n}^{[k]}),$$

następnie zestaw cząstek jest zastępowany nowym z rozkładem wynikającym z unormowanych  $w_i$ .

# Filtry cząsteczkowe – algorytm

$\mathcal{X}_t$ : zbiór  $m$  cząstek w chwili  $t$

$$\bar{\mathcal{X}}_t = \mathcal{X}_t = \emptyset$$

for  $k = 1$  to  $M$  do

$$x_t^{[k]} = \text{motion\_model}(x_{t-1}^{[k]}, u_t)$$

$$w_t^{[k]} = \text{measurement\_model}(z_t, x_t^{[k]}, m)$$

$$\bar{\mathcal{X}}_t = \bar{\mathcal{X}}_t + (x_t^{[k]}, w_t^{[k]})$$

endfor

for  $k = 1$  to  $M$  do

losuj  $x_t^{[i]}$  z prawdopodobieństwem  $\propto w_t^{[k]}$

dodaj  $\mathcal{X}_t = \mathcal{X}_t + x_t^{[i]}$

endfor

# FastSLAM – algorytm

Wykorzystuje twierdzenie Rao-Blackwella(-Kolmogorowa). Cząstki mają postać

$$y_t^{[i]} = \left( x_{1:t}^{[i]}, \{ \mu_j^{[i]}, \Sigma_j^{[i]} \} \right)$$

Dla każdej z  $M$  cząstek

- Wyciągnij posturę  $x_{t-1}^{[i]}$  ze zbioru cząstek  $Y_{t-1}$
- (predykcja) Wyznacz nową posturę  $x_t^{[i]} \sim p(x_t | x_{t-1}^{[i]}, u_t)$
- (aktualizacja pomiarów) Dla każdej obserwacji  $z_t^k$  znajdź dopasowanie do cechy  $j$  i wprowadź  $z_t^k$  do odpowiedniego EKF, aktualizując  $(\mu_{j,t}^{[i]}, \Sigma_{j,t}^{[i]})$
- (aktualizacja wag) Oblicz wagę ważności  $w^{[i]}$  dla nowej cząstki (resampling) Zastąp zbiór cząstek nowym, losowanym z prawdopodobieństwem proporcjonalnym do  $w^{[i]}$



## Rozszerzenia

- AugmentedMCL – dodawanie losowych próbek w liczbie zależnej od krótko- i długookresowej estymaty prawdopodobieństwa
- MixtureMCL – część cząstek generowana z modelu ruchu, a część z modelu obserwacji
- KLDSampling – dobór liczby cząstek na podstawie dywergencji Kullbacka-Leiblera

## Środowiska dynamiczne

- rozszerzenie stanu – uwzględnienie w estymacie pozycji i prędkości ruchomych obiektów (por. HMM)
- outlier rejection – odrzucenie niewłaściwych pomiarów już w modelu czujnika

# Podsumowanie metod

	EKF	MHT	grid (top.)	grid (met.)	MCL
obserwacje	cechy	cechy	cechy	surowe	surowe
zakłócenia	gaussowskie	gaussowskie	dowolne	dowolne	dowolne
wynik	$\mathcal{N}(\mu, \Sigma)$	$\{\mathcal{N}_i(\mu, \Sigma)\}$	histogram	histogram	cząstki
wydajność pamięciowa	++	++	+	-	+
wydajność czasowa	++	+	+	-	+
łatwość im- plementacji	+	-	+	-	++
rozdzielczość	++	++	-	+	+
odporność	-	+	+	++	++
globalna	nie	tak	tak	tak	tak